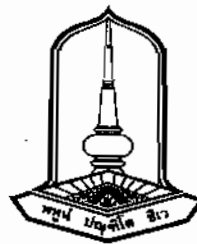


การศึกษาปรากฏการณ์ดอนป่าเพลอร์ด้วยการแปลงแบบกาลieleyn

อังคาร อินทนิล
ทฤณภี พรหนดิเรก

รายงานวิชาโครงงานพิสิດ្ឋ
เสนอต่อมหาวิทยาลัยมหาสารคามเพื่อเป็นส่วนหนึ่งของการศึกษาตามหลักสูตร
ปริญญาวิทยาศาสตรบัณฑิต สาขาวิชาพิสิດ្ឋ
มีนาคม 2553
ลิขสิทธิ์เป็นของมหาวิทยาลัยมหาสารคาม



The Study of Doppler Effect with Galilean Transformation

Angkhan Intanin

Tissadee Prohmdirek

Presented in partial fulfillment of the requirements for

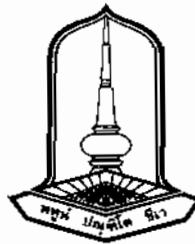
The Degree of Bachelor of Science in Physics

Mahasarakham University

May 2010

All rights reserved by Mahasarakham University





การศึกษาปракวภการณ์ดูแลเพลอร์ด้วยการเปลี่ยนแบบกาลีเดือน

อังคาร อินทนิล

พฤษฎี พรมดิเรก

รายงานวิชาโครงงานพิสิตร์ได้รับการพิจารณาอนุมัติให้เป็นส่วนหนึ่งของการศึกษาตาม
หลักสูตรปริญญาวิทยาศาสตรบัณฑิต สาขาวิชพิสิตร์

คณะกรรมการสอนรายงานโครงงานพิสิตร์

.....ประธานกรรมการ

(ผู้ช่วยศาสตราจารย์ ดร. วงศ์ รุจกรกานต์)

.....กรรมการ

(อาจารย์ ดร. นิติศักดิ์ ป่าสาจะ)

.....กรรมการ

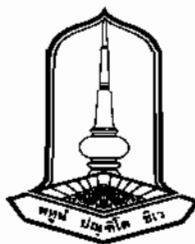
(อาจารย์ ชนบทเดช ใจจนกุล)

.....กรรมการและอาจารย์ที่ปรึกษา

(อาจารย์ ดร. เศกสรร สุขะเสนา)

วันที่.....เดือน พฤษภาคม พ.ศ. 2553





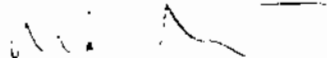
The Study of Doppler Effect with Galilean Transformation

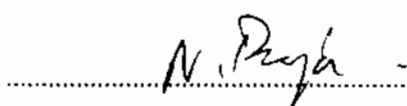
Angkhan Intanin

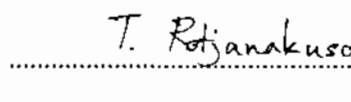
Tissadee Prohmdirek

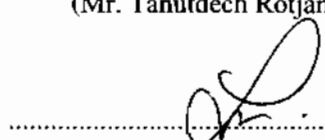
The physics project has been approved to be partial fulfillment of requirements for the Bachelor degree of Science in Physics.

Examining Committee:


..... Chairperson
(Asst. Prof. Dr. Rong Rujkorakarn)


..... Member
(Dr. Nitisak Pasaja)


..... Member
(Mr. Tanutdech Rotjanakusol)


..... Member and Adviser
(Dr. Seckson Snkkhasena)

Date...../ May 2010



Mahasarakham University

กิตติกรรมประกาศ

โครงการพิสิกส์ฉบับนี้สำเร็จลุล่วงไปด้วยดีเนื่องด้วยได้กำลังจากบิดา มารดา ผู้ให้กำเนิด และสนับสนุนค้านการศึกษามาโดยตลอด ขอขอบพระคุณ ดร.สกสรร สุขเสนา อาจารย์ที่ปรึกษา และคณะกรรมการ ผู้ช่วยศาสตราจารย์ ดร. รังค์ รุจกรกานต์, อาจารย์ ดร. นิคิศกันต์ ปานะะ, อาจารย์ ธันทเดช โรจนกุลส์ ที่ให้ความกรุณาและความช่วยเหลือเป็นอย่างดีเชิง ขอบพระคุณอาจารย์ประจำภาควิชาพิสิกส์ทุกท่านที่ได้ถ่ายทอดวิชาความรู้และประสบการณ์อย่างเต็มที่

ขอบคุณเจ้าหน้าที่ประจำภาควิชาพิสิกส์ ที่ให้ความช่วยเหลือและอำนวยความสะดวกทั้ง ในด้านสถานที่และอุปกรณ์ในการทำโครงการ

ขอบใจพี่ ๆ เพื่อน ๆ และน้อง ๆ ทุกคนที่มีส่วนเกี่ยวข้อง ให้ความช่วยเหลือและให้ คำปรึกษาในสิ่งที่ยังไม่รู้รวมทั้งกำลังใจจากทุก ๆ คน ทำให้โครงการพิสิกส์นี้สำเร็จลงได้

สุดท้ายนี้ขอขอบคุณความดีของโครงการนี้แด่ผู้ที่มีส่วนเกี่ยวข้องทุก ๆ ท่าน ที่ทำให้ โครงการพิสิกส์นี้สำเร็จลงด้วยดี และหวังเป็นอย่างยิ่งว่าโครงการนี้จะเป็นประโยชน์สำหรับผู้ที่ สนใจงานในด้านนี้ต่อไป

อังคาร อินทนิต
ฤทธิ์ พรมดิเรก



เรื่อง	การศึกษาปรากฏการณ์คอปเพลอร์ด้วยการแปลงแบบกาลีเลียน
ผู้ศึกษา	อังคาร อินทนนิต และ ทฤษฎี พรหมดิเรก
อาจารย์ที่ปรึกษา	ดร. เสกสรร สุขะเสนา
ปริญญา	วิทยาศาสตรบัณฑิต สาขาวิชา ฟิสิกส์
มหาวิทยาลัย	มหาสารคาม ปีที่พิมพ์ 2552

บทคัดย่อ

รายงานนี้เป็นการศึกษานุมนองหนึ่งของปรากฏการณ์คอปเพลอร์ซึ่งได้ศึกษาถึง 1). ความถี่ของเสียงที่ Observer ได้รับจาก Source ที่มีความเร็วสัมพัทธ์กับ Observer 2), การแปลงแบบกาลีเลียนซึ่ง Observer และ Source มีกรอบอ้างอิงเดียวกัน (Inertial Frame of Reference, I.F.) ที่แยกค้างกัน 3), ความถี่ที่เปลี่ยนแปลงไปเป็นผลที่ได้มาจากการสอดคล้องกันของระบบทางที่เปลี่ยนแปลงไป ณ ตำแหน่งค่า ฯ ของ Source และ Observer โดยที่ความเร็วของ Source คงที่ โดยปกติปรากฏการณ์คอปเพลอร์เป็นการศึกษาถึงค่าความถี่ที่เปลี่ยนแปลงไปของ Observer คือ ได้รับค่าความถี่ที่เปลี่ยนไปจากความถี่เดิมที่ปล่อยออกมากที่เมื่อ Source มีการเคลื่อนที่ด้วยความเร็วขยันนั้น เมื่อมีการพิจารณาถึงตำแหน่ง ฯ ที่ Source เคลื่อนที่เข้าหา Observer ใน I.F. นั้น โดยวิเคราะห์ตามหลักการแปลงแบบกาลีเลียนที่ I.F. ของ Source เคลื่อนที่หัวเข้าหา Observer และผ่านไปจาก Observer ด้วยความเร็วคงที่ ซึ่งอ้างอิงถึงเวลาการเคลื่อนที่ของคลื่นที่เคลื่อนที่เข้าหา Observer ณ ตำแหน่ง ฯ นั้นไม่เท่ากัน จะนั้น Observer จะได้รับค่าความถี่ ณ ตำแหน่ง ฯ ไม่เท่ากันตามพึงชั้นของตำแหน่งและเวลา ซึ่งผลที่ได้จากการแปลงแบบกาลีเลียนและความสัมพันธ์ของคอปเพลอร์ ค่าความถี่ที่ Observer ได้รับจาก Source ที่เคลื่อนที่เข้าหาด้วยความเร็วคงที่เป็นพึงชั้นที่ขึ้นอยู่กับ ความเร็ว ตำแหน่ง และ เวลาของ ที่ Source กับคลื่นที่เคลื่อนที่มาซึ่ง Observer ความถี่ของ Observer ได้รับจะมีค่าที่สูงขึ้นตามระดับของ Observer กับ Source ที่ใกล้เข้ามา เมื่อกำหนดให้ Observer ในการอ้างอิงเดียวกันนั่น แล้วค่าความถี่ที่ Observer จะได้รับมีค่าสูงที่สุด เมื่อระบบห่างของ Source กับ Observer น้อยที่สุด และในขณะ Source เคลื่อนที่ผ่าน Observer ไป ค่าความถี่ที่ได้จะลดลงตามระดับที่เพิ่มขึ้นของ Source จากการพิจารณาถึงความถี่ที่เปลี่ยนไป เมื่อ Source มีการเคลื่อนที่ด้วยความเร็วค่า ฯ และถ้า Source อยู่นั่น Observer จะต้องได้รับค่าความถี่เท่าเดิมจาก Source เช่นเดียวกันผลของสมการที่ได้จากความสัมพันธ์ของการแปลงตำแหน่งแบบกาลีเลียนและความสัมพันธ์ของคอปเพลอร์ เมื่อความเร็วของ Source มีค่าเป็นศูนย์ ค่าความถี่ที่ได้รับของ Observer ก็จะเท่ากับค่าความถี่เดิมเช่นเดียวกัน ผลของสมการทำให้ได้ทราบถึงค่าความถี่ ณ ตำแหน่ง ฯ ได้มีความเร็วของ Source คงที่



The Study of the Doppler Effect with Galilean Transformation

Abstract

The project aims to study 1.) The frequency of sound that observer received from source which relative to that observer (Doppler effect) 2.) The Galilean's transformations which observer and source are in different inertial reference frames 3.) The variation of frequency which resulting from the corresponding to the variation of each position of the source and observer with constant velocity, where the frequency that received by observer are not the same from each position of the source that approaching and receding to and from the observer. The Galilean transformation shows that the frequency is higher when the source is approaching and is lower when it is receding from the observer. Which is difference from the fundamental Physics book that the frequency is constant in every position of moving source even the frequency is greater than the frequency of the source when it approaching and less than when it is receding from the observer. The maximum frequency is observed when the source is nearest to the observer and the frequency in non-moving source are checked correctly which is constant value when the source is not moving.



สารบัญ

บทคัดย่อภาษาไทย.....	ก
บทคัดย่อภาษาอังกฤษ.....	ข
กิตติกรรมประกาศ	ก
บทที่ 1	
บทนำ	1
1.1 ที่มาและความสำคัญ.....	1
1.2 วัสดุประสงค์.....	2
1.3 ขอบเขตการศึกษา.....	2
1.4 ประโยชน์ที่คาดว่าจะได้รับ	2
บทที่ 2	3
ทฤษฎีที่เกี่ยวข้อง.....	3
2.1 สมการการแปลงแบบกาลีเลียน (Galilean transformations).....	3
2.2 ปรากฏการณ์ดอปเพลอร์ (Doppler effect)	4
บทที่ 3	7
การศึกษาและขั้นตอนการดำเนินงาน.....	7
3.1 การแปลงคำแทน่ ใจ ๆ การเกลื่อนที่ของวัสดุแบบกาลีเลียน	7
3.2 คำแทน่ใจ ๆ ของ Source	8
3.3 สมการการแปลงความถี่ ณ คำแทน่ค่าง ๆ	9
บทที่ 4	13
ผลของการคำนวณและการจำลองปรากฏการณ์ดอปเพลอร์	13
4.1 ตารางแสดงค่าคำแทน่ของ Source ที่ห่างจาก Observer ณ ช่วงเวลาต่าง ๆ	14
4.2 กราฟแสดงค่าความถี่ของ Observer ที่ได้รับ ณ คำแทน่ค่าง ๆ จากตารางที่ 1.1, 1.2 และ 1.3 ตามลำดับ	26
บทที่ 5	29
สรุปผลและข้อเสนอแนะ	29
5.1 สรุปผล.....	29
5.2 ข้อเสนอแนะ	29
บรรณานุกรม.....	30
ประวัติย่อผู้ศึกษา.....	32



สารบัญรูปภาพ

รูปที่ 1 I.F. แบบกาลีเลียน	3
รูปที่ 2 I.F. แบบกาลีเลียน	7
รูปที่ 3 พิจารณาระยะค่าตำแหน่งๆ (R) แบบกาลีเลียน	7
รูปที่ 4 แสดงถึงการหาค่าตำแหน่ง R ที่รถเคลื่อนที่เข้าหา Observer I.F. (x, y)	8
รูปที่ 5 แสดงถึงการหาค่าตำแหน่ง R ที่รถเคลื่อนที่เข้าหา Observer I.F. (x, y)	9
รูปที่ 6 แสดงเวกเตอร์ความเร็วตามแนวระยะ R	10
รูปที่ 7 แสดงการเคลื่อนที่ของ Source ที่เปลี่ยนไป ณ ตำแหน่งต่างๆ	11
รูปที่ 8 แสดงความสัมพันธ์ระหว่าง f' กับ t เมื่อ $v_s = 20 \text{ m/s}$	26
รูปที่ 9 แสดงความสัมพันธ์ระหว่าง f' กับ x เมื่อ $v_s = 20 \text{ m/s}$	26
รูปที่ 10 แสดงความสัมพันธ์ระหว่าง f' กับ t เมื่อ $v_s = 40 \text{ m/s}$	27
รูปที่ 11 แสดงความสัมพันธ์ระหว่าง f' กับ x เมื่อ $v_s = 40 \text{ m/s}$	27
รูปที่ 12 แสดงความสัมพันธ์ระหว่าง f' กับ t เมื่อ $v_s = 60 \text{ m/s}$	28
รูปที่ 13 แสดงความสัมพันธ์ระหว่าง f' กับ t เมื่อ $v_s = 60 \text{ m/s}$	28

สารบัญตาราง

ตารางที่ 1 แสดงค่าตำแหน่งต่างๆ ของ Source ในแนวแกน x' , ระยะห่างของ Source และ Observer และค่าความถี่ที่ Observer ได้รับ กำหนดให้ความเร็วคงที่ $20 \text{ เมตร} / \text{วินาที}$ ($v_s = 20 \text{ m/s}$) ที่ช่วงเวลา 0 ถึง 8.9 วินาที ($t = 0 \text{ sec} \rightarrow t = 8.9 \text{ see}$)	14
--	----



บทที่ 1

บทนำ

1.1 ที่มาและความสำคัญ

การศึกษาปรากฏการณ์ของคลื่นเสียงที่มีความสำคัญทางด้านวิชาการนั้นได้มีการศึกษามาอย่างยาวนานถึงพุทธิกรรมต่างๆ จนถูกทราบเป็นคุณสมบัติเฉพาะด้านของคลื่นเสียงที่เป็นไปในรูปแบบของคลื่นกล ที่สำคัญจะเห็นได้ชัดเจนในรูปแบบของการศึกษาทั้ง การเดินทางบน การแทรกสอด การสะท้อน การหักเห ซึ่งเป็นคุณสมบัติของคลื่นเสียงทั้งหมด การศึกษาปรากฏการณ์ที่สำคัญคือปรากฏการณ์คอปเพลอร์ของ Christian Doppler ในปี ก.ศ. 1842 ได้เกิดการศึกษาปรากฏการณ์ของคลื่นเสียงที่เกิดจากการรับคลื่นเสียงของ Observer ในรูปแบบที่มีการเคลื่อนที่สันพัทธ์กันของ Source หรือการเคลื่อนที่ของ Observer ซึ่งความเร็วสันพัทธ์ระหว่าง Observer กับ Source ไม่เท่ากับศูนย์ซึ่งทำให้ค่าความถี่ของคลื่นเสียงเปลี่ยนแปลงไป

การศึกษาปรากฏการณ์คอปเพลอร์ของ Christian Doppler ในปี ก.ศ. 1842 นั้นได้นำเสนอการศึกษาความถี่ของคลื่นเสียงที่เปลี่ยนแปลงไปโดยขึ้นอยู่กับพังก์ชันความเร็วสันพัทธ์ระหว่าง Source และ Observer กับความเร็วของคลื่นเสียง แต่ไม่ได้ระบุถึงคำแนะนำของ Observer ที่มีค่าแทนนั่งต่างกันในการได้รับความถี่ที่ต่างกัน เราจะเชื่อมโยงการศึกษาของคำแนะนำของปรากฏการณ์นี้โดยใช้คุณสมบัติของสมการการแปลงแบบกาลีเลียน (Galilean transformation equations) ของกาลิเลโอ (Galileo Galilei, 1564-1642) เพื่อที่จะเชื่อมโยงการเคลื่อนที่ของ Source และ Observer ได้อย่างแม่นยำใน I.F. x, y, z, t กับ I.F. x', y', z', t' ซึ่งเคลื่อนที่สันพัทธ์กันด้วยความเร็วคงที่เป็นส่วนคงที่เทียบกับ I.F. x, y, z, t

การศึกษาปรากฏการณ์คอปเพลอร์ที่เขื่อมโยงกับคุณสมบัติของสมการการแปลงแบบกาลีเลียนจะส่งผลถึงค่าความถี่ที่คลื่นเสียงปล่อยออกมานาหาร Observer โดยขึ้นอยู่กับองค์ประกอบของพังก์ชันของคำแนะนำและเวลาที่สันพัทธ์ระหว่าง Source และ Observer ทำให้ Observer รับรู้ได้ถึงความถี่ที่เปลี่ยนแปลงไป



1.2 วัตถุประสงค์

1. ศึกษาเกี่ยวกับการความดีที่ได้รับในคำแห่งอ้างอิงเชื่อมโยงปรากฏการณ์ตอบเพลอร์กับใช้คุณสมบัติของสมการการแปลงแบบกาลีเดียน
2. ศึกษาการคำนวณและจำลองความดีของเสียงในฟังก์ชันของคำแห่งเวลา

1.3 ขอบเขตการศึกษา

1. ศึกษาทฤษฎีของปรากฏการณ์ตอบเพลอร์
2. ศึกษาสมการการแปลงแบบกาลีเดียน
3. คำนวณหาค่าความดีจากสมการการแปลงแบบกาลีเดียน
4. การจำลองและคำนวณค่าความดีจากสมการการแปลงแบบกาลีเดียน

1.4 ประโยชน์ที่คาดว่าจะได้รับ

1. มีความรู้และทักษะในสมการการแปลงแบบกาลีเดียน
2. มีความรู้เกี่ยวกับทฤษฎีของปรากฏการณ์ตอบเพลอร์
3. ทราบถึงค่าความดีที่เปลี่ยนแปลงไปจากการการแปลงแบบกาลีเดียน
4. มีความรู้และทักษะเกี่ยวกับโปรแกรม การคำนวณทางฟิสิกส์

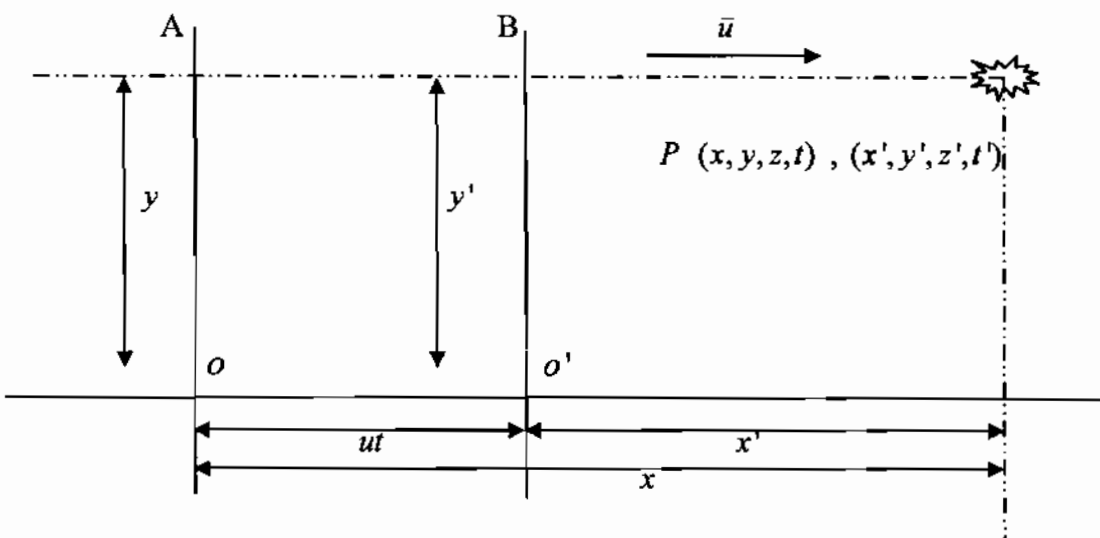


บทที่ 2

ทฤษฎีที่เกี่ยวข้อง

2.1 สมการการแปลงแบบกาลิเลียน (Galilean transformations)

สมการการแปลงแบบกาลิเลียนทางฟิสิกส์ดังนี้คือพื้นที่ที่สัมพันธ์กันระหว่าง I.F. สองกรอบ ที่มีความเร็วสัมพัทธ์คงที่ หลักเกณฑ์นี้คือกฎทางฟิสิกส์จะคงรูปออยู่เสมอไม่ว่าจะอยู่ใน I.F. ใดๆ



รูปที่ 1 I.F. Galilean transformation

พิจารณา I.F. x, y, z, t กับ x', y', z', t' และระบบ x', y', z' เคลื่อนที่ด้วยความเร็ว u เที่ยบ กับระบบ x, y, z ในแนว ox กำหนดเงื่อนไขเริ่มต้น จุด o' ทับกับจุด o เมื่อเวลาเริ่มต้น และ แกน $o'x'$ ขนานกับแกน ox A เป็น Observer ที่อยู่นิ่งในระบบ x, y, z Observer B อยู่นิ่งในระบบ x', y', z' ส่วน P เป็น Source ซึ่งที่กำลังเคลื่อนที่อยู่ Observer A บอกตำแหน่งของ P ด้วย (x, y, z, t) ส่วน Observer B บอกตำแหน่งของ P ด้วย (x', y', z', t') เวลาเริ่มต้นนั้นคือ $t = t' = 0$ ผลที่ได้ห้องส่องนี้จะสามารถเขียนสมการการแปลงแบบกาลิเลียนที่เขียน (x, y, z, t) กับ (x', y', z', t') เข้าด้วยกันคือ



$$\left. \begin{array}{l} x = x' + ut \\ y = y' \\ z = z' \\ t = t' \end{array} \right\} \quad (2.1), \quad \left. \begin{array}{l} x' = x - ut \\ y' = y \\ z' = z \\ t' = t \end{array} \right\} \quad (2.2)$$

สำหรับการแปลงความเร็วหาได้ derivations สมการ (2.1) และ (2.2) ได้

$$v = v' + u \quad (2.3)$$

$$v' = v - u \quad (2.4)$$

สมการ (2.1) ถึงสมการ (2.4) รวมเรียกว่าสมการการแปลงแบบกาลีเดียนสำหรับคำแห่งและความเร็ว

2.2 ปรากฏการณ์คอปเพลอร์ (Doppler effect)

ปรากฏการณ์คอปเพลอร์เป็นปรากฏการณ์ที่มีการเปลี่ยนแปลงความถี่ของคลื่นเสียงเกิดขึ้นเมื่อ Source เคลื่อนที่สัมพัทธ์กับ Observer ขณะที่ Source เข้าใกล้กับ Observer ที่หุบหนึ่งความถี่ของคลื่นเสียงจะปรากฏเป็นระดับความถี่ที่สูงขึ้น และความถี่ของคลื่นเสียงจะลดลงขณะที่เคลื่อนที่ผ่าน Observer ออกไป ปรากฏการณ์คอปเพลอร์นี้เกิดจากความยาวคลื่นเสียงเปลี่ยนแปลงไปในขณะที่ Source เคลื่อนที่เข้าใกล้ Observer ความถี่ของเสียงจะสูงขึ้นความยาวคลื่นจะลดลง และเมื่อ Source เคลื่อนที่ออกห่างจาก Observer จะเกิดปรากฏการณ์ตรงกันข้าม เมื่อความถี่ลดลงความยาวคลื่นจะเพิ่มขึ้น ปรากฏการณ์คอปเพลอร์สามารถได้ยินจากความสูงต่ำของเสียง (Pitch) ของหัวครดไฟที่วิ่งผ่าน ใช้เรนจารคอมพิวเตอร์รถคำนวณ เครื่องบิน ไอพ่น เป็นต้น

กำหนดให้

λ = ความยาวคลื่นเสียงจาก Source

v_s = ความเร็วของ Source

v_0 = ความเร็วของ Observer

v = ความเร็วของเสียงในอากาศ

f = ความถี่ของ Source

f' = ความถี่ที่ Observer ได้รับ หรือได้ยิน

หากแบ่งการพิจารณาการเปลี่ยนแปลงของ f' แบ่งออกได้เป็น 2 กรณี คือ



2.2.1. Observer เคลื่อนที่โดย Source หยุดนิ่ง

ตอนเริ่มต้น ขณะที่ Source ได้ส่งเสียงที่มีความถี่ f ความเร็วของเสียงในอากาศเป็น v ถ้า Observer เคลื่อนที่เข้าหาหรือออกจาก Source ด้วยความเร็ว v_0 ทำให้ความเร็วสัมพัทธ์ของความเร็วของเสียงในอากาศเทียบกับความเร็ว Observer เป็นไป

เมื่อ Observer เคลื่อนที่เข้าหา Source ในแนวแกน x และ x'

$$v' = v + v_0 \quad (2.5)$$

โดยที่ความยาวคลื่นเสียงคงที่ $\lambda = \frac{v}{f}$ และความถี่เสียงที่ Observer ได้ยินคือ

$$f' = \frac{v'}{\lambda} = \frac{v + v_0}{\lambda} \quad (2.6)$$

แทนสมการ (2.5) ลงในสมการ (2.6) จะได้

$$f' = \left(\frac{v + v_0}{v} \right) f \quad (2.7)$$

เมื่อ Observer เคลื่อนที่ออกจาก Source ในแนวแกน x และ x'

$$v' = v - v_0 \quad (2.8)$$

โดยที่ความยาวคลื่นเสียงคงที่ $\lambda = \frac{v}{f}$ และความถี่เสียงที่ Observer ได้ยินคือ

$$f' = \frac{v'}{\lambda} = \frac{v - v_0}{\lambda} \quad (2.9)$$

จะได้

$$f' = \left(\frac{v - v_0}{v} \right) f \quad (2.10)$$

$$\text{สรุปคือ } f' = \left(\frac{v \pm v_0}{v} \right) f \quad (2.11)$$

2.2.2. Observer หยุดนิ่ง โดย Source เคลื่อนที่

ตอนเริ่มต้นขณะที่ Source เคลื่อนที่ ความยาวของคลื่นเสียงที่ Observer ได้ยินเปลี่ยนไปเป็น λ' เมื่อ Source เคลื่อนที่เข้าหา Observer ความยาวของคลื่นเสียงที่ Observer ได้รับมีค่าน้อยลงคือ

$$f' = \frac{v}{\lambda'} \quad (2.12)$$

$$\lambda' = \frac{v - v_s}{f}$$



แก้สมการ (2.12) จะได้

$$f' = \left(\frac{v}{v - v_s} \right) f \quad (2.13)$$

เมื่อ Source เคลื่อนที่ออกจาก Observer ความยาวของคลื่นเสียงที่ Observer ได้ยินมีค่ามากขึ้นคือ

$$\lambda' = \frac{v'}{f} = \left(\frac{v + v_s}{f} \right) \quad (2.14)$$

$$\text{โดยที่ } f' = \frac{v}{\lambda'} \quad (2.15)$$

แทนค่าสมการ (2.14) ลงในสมการ (2.15) จะได้

$$f' = \left(\frac{v}{v + v_s} \right) f \quad (2.16)$$

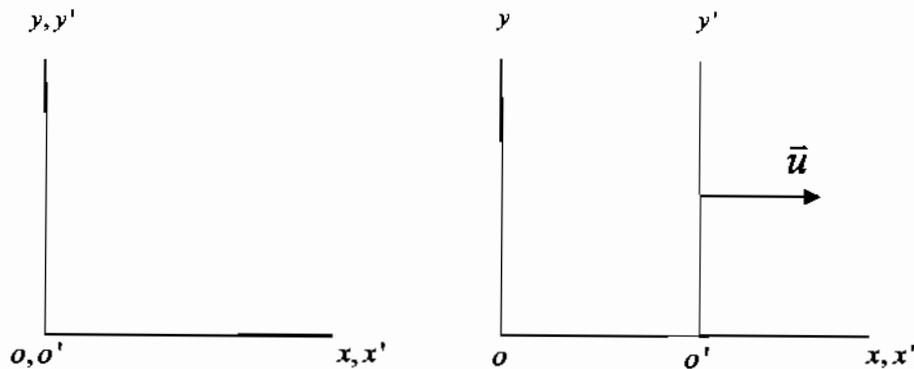
$$\text{สรุปคือ } f' = \left(\frac{v}{v \mp v_s} \right) f \quad (2.17)$$



บทที่ 3

การศึกษาและขั้นตอนการดำเนินงาน

3.1 การแปลงค่าแทนงา ให ๆ การเคลื่อนที่ของวัตถุแบบกาลิเลียน

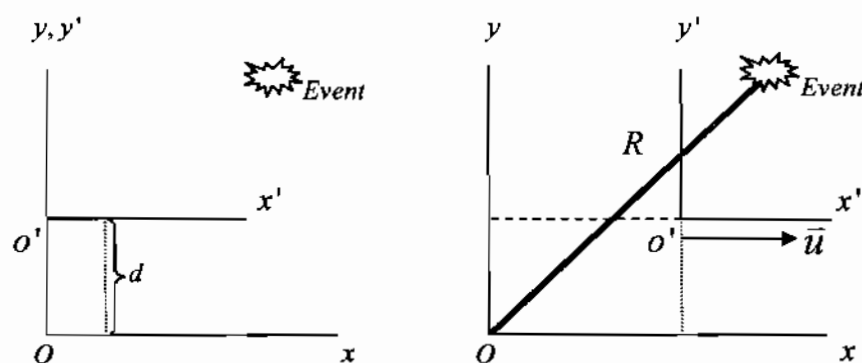


รูปที่ 2 I.F. Galilean transformation

จากการแปลงแบบกาลิเลียน เมื่อกำหนดให้ I.F. 2 กรอบเริ่มต้นที่ค่าแทนงเดียวกัน ณ เวลาเดียวกัน ($t = t'$) I.F. (x', y') เคลื่อนที่ด้วยความเร็วคงที่ u เทียบกับ I.F. (x, y) ค่าแทนงที่ Observer ของทั้งสอง I.F. สัมพัทธ์กันดังนี้

$$x = x' + ut \quad (3.1)$$

$$x' = x - ut \quad (3.2)$$



รูปที่ 3 พิจารณาระยะค่าแทนงา ให ๆ (R) แบบกาลิเลียน

จากภาพกำหนดให้ I.F. ทั้งสองอยู่ค่าแทนงเดียวกัน ที่ $t = t' = 0$ และระบบ (o, o') ห่างกัน d ในแกน y เมื่อ I.F. (x', y') เคลื่อนที่ไปด้วยความเร็ว u คงที่ Observer กรอบ (x, y) จะได้



ตัวแหน่งเทียบกับกรอบ (x', y') เป็นไปตามสมการ (3.1) เมื่อกรอบหันส่องตั้งจากกัน Observer ตัวแหน่ง O จะได้ระยะที่ห่างจากวัดถูกหรือเหตุการณ์ที่อ้างอิงเป็น R ซึ่งพิจารณาหาค่า R จากทฤษฎีบทพิทาโกรัส

$$R = \sqrt{(d + y')^2 + x'^2} \quad (3.3)$$

แทนค่าสมการ (3.1) ลงในสมการ (3.3) จะได้

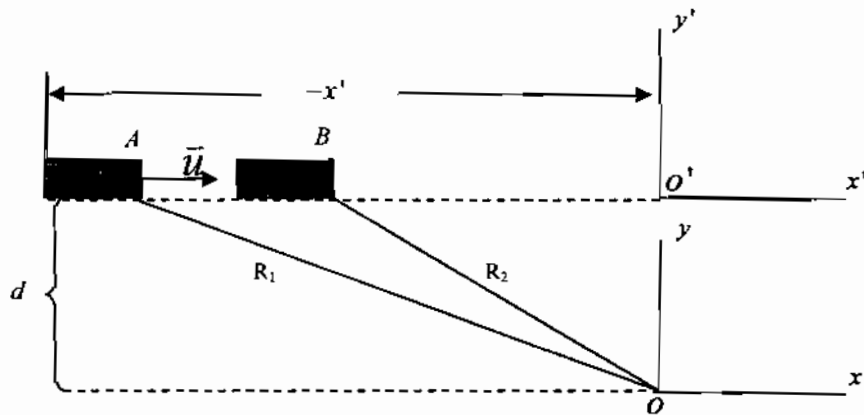
$$R = \sqrt{(d + y')^2 + (x' + ut')^2} \quad (3.4)$$

เมื่อพิจารณาเฉพาะในแนวการเคลื่อนที่ความแกน x' ดังนั้นกำหนดให้ค่า $y' = 0$ และจาก การแปลงแบบกำลัง $t = t'$ จะได้สมการ (3.4) เป็น

$$R = \sqrt{d^2 + (x' + ut)^2} \quad (3.5)$$

สมการนี้จะมีผลในการพิจารณาถึงตัวแหน่งในการเคลื่อนที่ของ Source ในหัวข้อต่อไป

3.2 ตัวแหน่งใจ ๆ ของ Source



รูปที่ 4 แสดงถึงการหาค่าตัวแหน่ง R ที่รถเคลื่อนที่เข้าหา Observer กรอบ (x, y)

จากรูปที่ 4 กำหนดให้ Source เคลื่อนที่จากด้านซ้ายของ Observer กรอบ (x, y) ซึ่งอยู่นิ่ง โดยให้ Source ของเดียงอยู่กรอบ (x', y') เมื่ออ้างอิงระบบตัวแหน่งแรกที่รถเคลื่อนที่เข้าหา Observer ณ ตัวแหน่ง A และ B ตามลำดับ จะได้ $\overline{AO} = R_1$, $\overline{BO} = R_2$ เมื่อรถเคลื่อนที่ด้วยความเร็วคงที่ของกรอบ (x', y') แทนค่านี้เปลี่ยนเป็น v_s

จากสมการ (3.1); $t = t'$ และ IF (x', y') จากการแปลงแบบกำลังเดือนเคลื่อนที่ด้วยความเร็วคงที่ n จะได้ $n = v_s$ แทนค่าลงใน (3.1) จะได้

$$-x = -x' + v_s t \quad (3.6)$$

ถูกลดด้วย (-1) ทั้งสองข้างของสมการที่ (3.6) จะได้

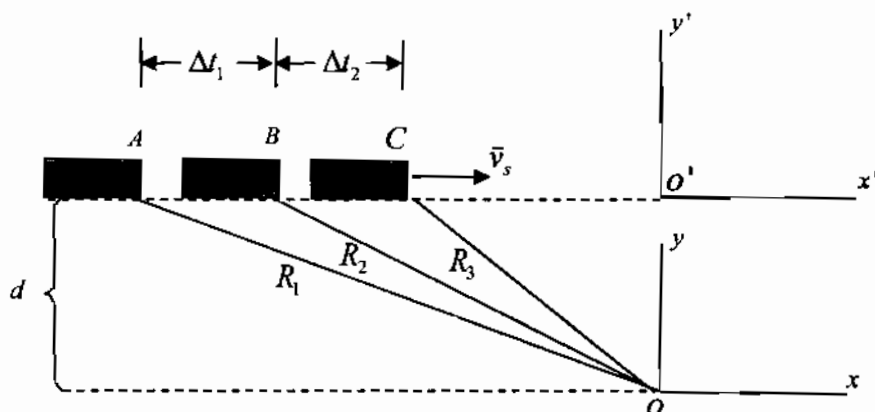
$$x = x' - v_s t \quad (3.7)$$

นำสมการ (3.7) แทนลงในสมการ (3.3) เมื่อ $y' = 0$ และ $\overline{OO'}$ ห่างกันเป็นระยะ d จะได้

$$R = \sqrt{d^2 + (x' - v_s t)^2} \quad (3.8)$$

เมื่อ t คือเวลาใด ๆ ที่รอดเกลื่อนที่เข้าหา Observer จากคำแนะนำแรกที่อ้างอิงและคำแนะนำใด ๆ พิจารณาการเคลื่อนที่ของรถที่เข้าหา Observer ระยะที่ Source ห่างน้อยที่สุดจะต้องเท่ากับ $\overline{OO'}$ ฉะนั้น $v_s t = x' = 0$ และเมื่อรอดเกลื่อนที่ผ่านจุด O' ไปคำแนะนำจะห่างจาก Observer จะต้องเพิ่มขึ้นเรื่อยๆ หรือ R เพิ่มขึ้นตามเวลาใด ๆ

3.3 สมการการแปลงความถี่ ณ ตำแหน่งต่าง ๆ



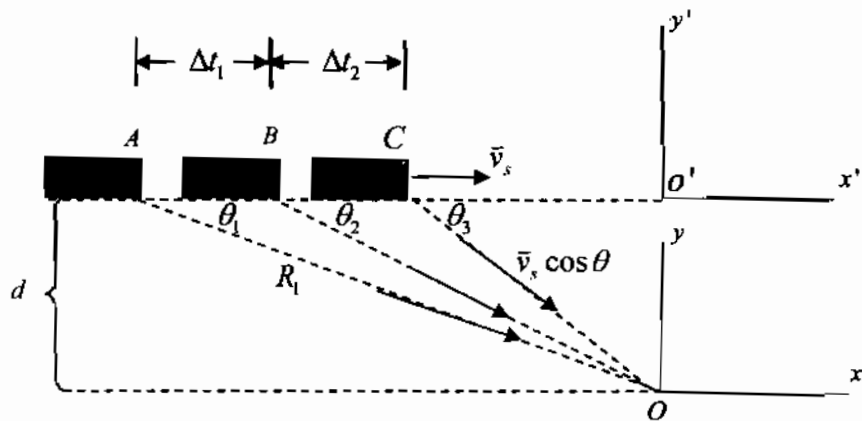
รูปที่ 5 แสดงถึงการหาค่าตำแหน่ง R ที่รอดเกลื่อนที่เข้าหา Observer รอบ (x, y)

จากรูปที่ 5 ในหัวข้อที่ผ่านมาได้พิจารณาถึงคำแนะนำที่รอดเกลื่อนที่อยู่ห่างจาก Observer ในกรอบ (x, y) ที่อยู่นี่ เมื่อรอดเกลื่อนที่เข้าหา Observer เคลื่อนที่ด้วยความเร็วคงที่ v_s และมีความถี่เริ่มต้นเป็น f จากบทที่ 2 ที่กล่าวถึงการพิจารณาถึงความถี่ที่ Observer ได้รับ ค่าความถาวรคลื่น (λ) ที่มาซึ่ง Observer นั้นจะเปลี่ยนไปค่าหนึ่ง (λ') ฉะนั้น Observer ที่ได้รับความถาวรคลื่นเปลี่ยนไปนั้นจะได้ความถี่ใหม่ขะนึ่นตามไปด้วย ถ้าความเร็วของ Source ไม่เปลี่ยนแปลง (v_s คงที่) ทุกๆ ระยะที่ Observer ห่างจาก Source ก็จะได้รับความถี่เท่าเดิมเช่นกัน การพิจารณาถึงคำแนะนำใดๆ ที่รอดห่างจาก Observer นั้น แนวโน้มค่าความถี่จะเพิ่มขึ้นเมื่ออ้างอิงถึงเวลาที่คลื่น

เคลื่อนที่เข้าหา Observer ใช้เวลา Δt คำแห่งๆ ค่า λ' ที่เปลี่ยนไปดังกันด้วย จากภาพดูที่เคลื่อนที่มาถึงจุด A กรอบ (x', y') ซึ่ง Observer อยู่จุด O กรอบ (x, y) กำหนดให้ระยะ \overline{AO} คือระยะแรกในการอ้างอิงการได้รับความถี่ของ Observer จะได้ $\overline{AO} = R_i$ ความเร็วของคลื่นที่มาถึง Observer ก่อนหน้าจุดถัดไป A จะเป็นค่าความเร็วสัมพัทธ์ระหว่างความเร็ว Source กับความเร็วเสียง จะได้

$$\bar{v}' = \bar{v} - \bar{v}_s \quad (3.9)$$

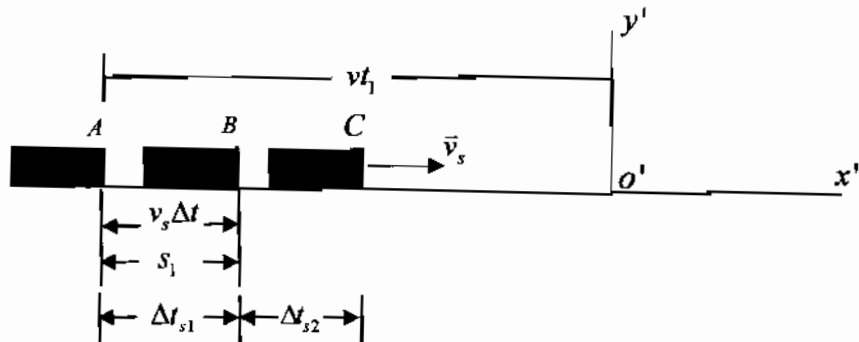
จะนับ ณ คำแห่งๆ ที่คลื่นเคลื่อนที่เข้าหา Observer ตามแนวแกน x' จะมีความเร็วเท่ากับ v' ตามสมการ (3.9)



รูปที่ 6 แสดงภาพเดอร์ความเร็วตามแนวระยะ R

พิจารณาถึงเวลาเดอร์ของความเร็วเมื่อ Observer อยู่ ณ ตำแหน่ง O ความเร็วสัมพัทธ์ที่เกิดขึ้นระหว่างความเร็วเสียงกับความเร็วของ Source ที่เคลื่อนที่จะเปลี่ยนไปตามทิศทางของคำแห่งๆ ระหว่าง Source กับ Observer ขณะนี้ ๆ จากภาพที่ จะได้ทิศทางของระยะ R ต่าง ๆ ทำมุม θ กับแกน x' ขณะนี้ทิศทางความเร็วของ Source ที่ตรงเข้าหา Observer ณ ตำแหน่งใด ๆ เป็น $v_s \cos \theta$ เมื่อ θ นิความสัมพันธ์กับคำแห่งๆ ของ R ใด ๆ และระยะแกน x' ตามแนวการเคลื่อนที่ของ Source ขณะนี้ เมื่อพิจารณาความหลักของตรีโกณมิติ และ Source คลื่นที่ปล่อยออกมานี้เป็นลักษณะวงกลม แสดงว่าทิศทางของอัตราเร็วคลื่นเสียงเป็น v ตั้งนี้ความเร็วสัมพัทธ์ระหว่างความเร็วของเสียงกับ Source ในแนวการเคลื่อนที่ตามทิศทางของระยะ R ใด ๆ เป็น

$$v' = v - v_s \cos \theta \quad (3.10)$$



รูปที่ 7 แสดงการเคลื่อนที่ของ Source ที่เปลี่ยนไป ณ ตำแหน่งต่าง ๆ

จากรูปที่ 7 เมื่อ Source เคลื่อนที่ด้วยความเร็วคงที่ v_s กำหนดการอ้างอิงคำແນ່ງແຮກของ Source ที่จุด A ซึ่งขณะนั้นคลีนเคลื่อนที่มาชั่งจุด O' ด้วยความเร็ว v ซึ่งใช้เวลาในการเคลื่อนที่เป็น t_1 ในขณะเดียวกัน Source เคลื่อนที่จาก A ไป B ใช้เวลาในการเคลื่อนที่เป็น Δt_1 ซึ่งความขาวคลีนที่เปลี่ยนไปจะเป็น λ' เมื่ออ้างอิงเฉพาะคำແນ່ງของ Source ที่ A ไป B มีเวลาที่คลีนเคลื่อนที่เข้าหาจุด O' เป็น t_1 ดังนั้นจำนวนสูกคลีนที่เข้าหาจะเท่ากับ $f t_1$ ดังนั้น λ' ที่เปลี่ยนไปจะได้

$$\lambda' = \left(\frac{v t_1 - v_s \Delta t_{s1}}{f t_1} \right) \quad (3.11)$$

เมื่อ t_1 คือเวลาที่คลีนเคลื่อนที่เข้าหาจุดอ้างอิงหรือจุดของ Observer
 Δt_{s1} คือเวลาที่ Source เคลื่อนที่

พิจารณาจากรูปที่ 5 เมื่อ Observer ไม่ได้อยู่ในแนวเดียวกันกับการเคลื่อนที่ของ Source เวลา (t_1) ที่คลีนเคลื่อนที่เข้าหา Observer ตามทิศทางของระยะ R จะได้

$$t_1 = \frac{R}{v'} \quad (3.12)$$

แทนค่าสมการ (3.8) และสมการ (3.10) ลงในสมการ (3.12) จะได้

$$t_1 = \left(\frac{\sqrt{d^2 + (x' - v_s t)^2}}{v - v_s \cos \theta} \right) \quad (3.13)$$

แทนสมการ (3.13) ลงในสมการ (3.11) จะได้

$$\lambda' = \frac{v \left(\frac{\sqrt{d^2 + (x' - v_s t)^2}}{v - v_s \cos \theta} \right) - v_s \Delta t_{s1}}{f \left(\frac{\sqrt{d^2 + (x' - v_s t)^2}}{v - v_s \cos \theta} \right)} \quad (3.14)$$

จาก $v = f' \lambda'$ ที่ Observer ได้รับ แทนค่าสมการ (3.14)
จะได้

$$v = f' \left(\frac{v \left(\frac{\sqrt{d^2 + (x' - v_s t)^2}}{v - v_s \cos \theta} \right) - v_s \Delta t_{s1}}{f \left(\frac{\sqrt{d^2 + (x' - v_s t)^2}}{v - v_s \cos \theta} \right)} \right)$$

จักรูปสมการแบบใหม่

$$f' = f \left(\frac{\frac{v \left(\frac{\sqrt{d^2 + (x' - v_s t)^2}}{v - v_s \cos \theta} \right)}{v \left(\frac{\sqrt{d^2 + (x' - v_s t)^2}}{v - v_s \cos \theta} \right)} - v_s \Delta t_{s1}}{\frac{\sqrt{d^2 + (x' - v_s t)^2}}{v - v_s \cos \theta}} \right) \quad (3.15)$$

สมการ (3.15) คือความถี่ที่ Observer ได้รับขณะใดนั้นและคำแห่งนั้นๆ
เมื่อ t คือ เวลาที่ผลเดือนที่เข้าหา Observer จากคำแห่งแรกที่อ้างอิง จากรูปที่ 7 เมื่อให้
 $\Delta t_{s1} = \Delta t_{s2}$ Source เคลื่อนที่ถึงจุด C และเคลื่อนที่ต่อจากจุด C ไปด้วยช่วงเวลาที่เท่ากัน
จะได้ $t = \Delta t_{s1} + \Delta t_{s2} + \dots$

Δt_{s1} คือ ช่วงเวลาที่เป็นผลต่างของคลื่นที่เคลื่อนที่เข้าหาขณะนั้นกับก่อนหน้านั้น

d คือ ระยะห่างระหว่าง LF.

v คือ อัตราเร็วของเสียง

v_s คือ อัตราเร็วของ Source

f คือ ความถี่เสียง

จากสมการ (3.15) สอดคล้องกับสมการของคงปีเพลตอร์เมื่อ Source เสียงเคลื่อนที่เข้าหา
Observer Observer จะได้รับความถี่มากขึ้นเรื่อยๆ เมื่อเปรียบเทียบจากความถี่เดิม แต่เมื่อ Source
หยุดนิ่ง หรือ $v_s = 0$ Observer จะต้องได้รับความถี่เท่าเดิม ($f' = f$) เช่นเดียวกันกับสมการ
(2.13)



บทที่ 4

ผลของการคำนวณและการจำลองปรากฏการณ์ดอนเพลอร์

ในบทนี้จะแสดงการทดสอบถึงสิ่งที่ได้มาในบทที่ 3 โดยการพิจารณาถึงค่าแห่งค่า ฯ ของ Source ที่เคลื่อนที่เข้าหา Observer และเคลื่อนที่ออกห่างจาก Observer และศึกษาค่าความถี่ได้จาก ค่าแห่งค่า ฯ ที่ Observer ได้ยิน แนวโน้มสำหรับค่าความถี่ที่ได้ยิน เมื่อ Source I.F. (x', y') เคลื่อนที่เข้าใกล้ Observer ของ I.F. นั่ง (x, y) ด้วยความเร็วคงที่ ความถี่ที่ Observer (f') ได้ยินจะสูงขึ้นเรื่อยๆ ตามฟังก์ชันของค่าแห่งเวลา เมื่อถึงจังหวะที่คลื่นเคลื่อนที่ถึงจุด Observer ในค่าแห่งค่า ฯ โดยที่ Source เคลื่อนที่ เพราะฉะนั้นระยะที่ Source ห่างจาก Observer น้อยที่สุด Observer จะได้รับความถี่มากที่สุดจากความถี่เดิมและเมื่อเคลื่อนที่ห่างไปค่าความถี่จะลดลงตามระยะทาง Source ห่างจาก Observer สมการที่ (3.15) จะนำไปพิสูจน์ในโปรแกรมคำนวณเพื่อวิเคราะห์ถึงค่าที่ได้มา โดยกำหนดให้ Source เคลื่อนที่ด้วยความเร็วคงที่ (v_s คงที่) และค่าแห่งค่า ห่างจาก Observer ณ จุดถึงจังหวะตามแกน x' ของ Source เท่ากับ 100 m ($x' = 100\text{ m}$) เวลาที่เปลี่ยนไป ค่าแห่งค่า ฯ ให้เป็นทุกๆ 0.1 s ($\Delta t = 0.1\text{ s}$) เมื่อ d คือระยะห่างระหว่าง I.F. ในแนวแกน y มีค่าเท่ากับ 50 m ในการคำนวณกำหนดให้ความถี่เสียง (f) เท่ากับ 1000 Hz



4.1 ตารางแสดงค่าตำแหน่งของ Source ที่ห่างจาก Observer ณ ช่วงเวลาต่าง ๆ

ตารางที่ 1 แสดงค่าตำแหน่งต่าง ๆ ของ Source ในแนวแกน x' , ระยะห่างของ Source และ Observer และค่าความถี่ที่ Observer ได้รับ กำหนดให้ความเร็วคงที่ 20 ms^{-1} ($v_s = 20 \text{ ms}^{-1}$) ที่ ช่วงเวลา 0 ถึง 8.9 s ($t = 0$ ถึง $t = 8.9 \text{ s}$)

$t (\text{s})$	$x (\text{m})$	$R (\text{m})$	$f' (\text{Hz})$
0.00	100.00	111.80	1017.2
0.10	98.000	110.02	1017.5
0.20	96.000	108.24	1017.8
0.30	94.000	106.47	1018.1
0.40	92.000	104.71	1018.5
0.50	90.000	102.96	1018.8
0.60	88.000	101.21	1019.1
0.70	86.000	99.480	1019.5
0.80	84.000	97.750	1019.8
0.90	82.000	96.040	1020.2
1.00	80.000	94.340	1020.6
1.10	78.000	92.650	1021.0
1.20	76.000	90.970	1021.4
1.30	74.000	89.310	1021.8
1.40	72.000	87.660	1022.2
1.50	70.000	86.020	1022.6
1.60	68.000	84.400	1023.1
1.70	66.000	82.800	1023.6
1.80	64.000	81.220	1024.1
1.90	62.000	79.650	1024.6
2.00	60.000	78.100	1025.1
2.10	58.000	76.580	1025.6
2.20	56.000	75.070	1026.1
2.30	54.000	73.590	1026.7



t (s)	x (m)	R (m)	f' (Hz)
2.40	52.000	72.140	1027.3
2.50	50.000	70.710	1027.9
2.60	48.000	69.310	1028.5
2.70	46.000	67.940	1029.1
2.80	44.000	66.600	1029.7
2.90	42.000	65.300	1030.4
3.00	40.000	64.030	1031.0
3.10	38.000	62.800	1031.7
3.20	36.000	61.610	1032.4
3.30	34.000	60.460	1033.0
3.40	32.000	59.360	1033.7
3.50	30.000	58.310	1034.4
3.60	28.000	57.310	1035.1
3.70	26.000	56.360	1035.8
3.80	24.000	55.460	1036.4
3.90	22.000	54.630	1037.1
4.00	20.000	53.850	1037.7
4.10	18.000	53.140	1038.3
4.20	16.000	52.500	1038.9
4.30	14.000	51.920	1039.4
4.40	12.000	51.420	1039.9
4.50	10.000	50.990	1040.3
4.60	8.0000	50.640	1040.7
4.70	6.0000	50.360	1041.1
4.80	4.0000	50.160	1041.3
4.90	2.0000	50.040	1041.5
5.00	0.0000	50.000	1041.7
5.10	-2.0000	50.040	1041.7
5.20	-4.0000	50.160	1041.7
5.30	-6.0000	50.360	1041.7

t (s)	x (m)	R (m)	f' (Hz)
5.40	-8.0000	50.640	1041.5
5.50	-10.000	50.990	1041.3
5.60	-12.000	51.420	1041.1
5.70	-14.000	51.920	1040.7
5.80	-16.000	52.500	1040.3
5.90	-18.000	53.140	1039.9
6.00	-20.000	53.850	1039.5
6.10	-22.000	54.630	1038.9
6.20	-24.000	55.460	1038.4
6.30	-26.000	56.360	1037.8
6.40	-28.000	57.310	1037.2
6.50	-30.000	58.310	1036.6
6.60	-32.000	59.360	1036.0
6.70	-34.000	60.460	1035.4
6.80	-36.000	61.610	1034.7
6.90	-38.000	62.800	1034.1
7.00	-40.000	64.030	1033.5
7.10	-42.000	65.300	1032.8
7.20	-44.000	66.600	1032.2
7.30	-46.000	67.940	1031.6
7.40	-48.000	69.310	1031.0
7.50	-50.000	70.710	1030.4
7.60	-52.000	72.140	1029.8
7.70	-54.000	73.590	1029.2
7.80	-56.000	75.070	1028.6
7.90	-58.000	76.580	1028.1
8.00	-60.000	78.100	1027.5
8.10	-62.000	79.650	1027.0
8.20	-64.000	81.220	1026.5
8.30	-66.000	82.800	1025.9

t (s)	x (m)	R (m)	f' (Hz)
8.40	-68.000	84.400	1025.5
8.50	-70.000	86.020	1025.0
8.60	-72.000	87.660	1024.5
8.70	-74.000	89.310	1024.1
8.80	-76.000	90.970	1023.6
8.90	-78.000	92.650	1023.2



ตารางที่ 2 แสดงค่าดำเนินการต่าง ๆ ของ Source ในแนวแกน x' , ระยะห่างของ Source และ Observer และค่าความถี่ที่ Observer ได้รับ กำหนดให้ความเร็วคงที่ 40 ms^{-1} ($v_s = 40 \text{ m/s}$) ที่ช่วงเวลา 0 ถึง 8.9 s ($t = 0$ ถึง $t = 8.9 \text{ s}$)

$t (\text{s})$	$x (\text{m})$	$R (\text{m})$	$f' (\text{Hz})$
0.00	100.00	111.80	1033.1
0.10	96.000	108.24	1034.2
0.20	92.000	104.71	1035.5
0.30	88.000	101.21	1036.8
0.40	84.000	97.750	1038.2
0.50	80.000	94.340	1039.7
0.60	76.000	90.970	1041.3
0.70	72.000	87.660	1043.0
0.80	68.000	84.400	1044.8
0.90	64.000	81.220	1046.8
1.00	60.000	78.100	1048.9
1.10	56.000	75.070	1051.1
1.20	52.000	72.140	1053.5
1.30	48.000	69.310	1056.0
1.40	44.000	66.600	1058.6
1.50	40.000	64.030	1061.4
1.60	36.000	61.610	1064.4
1.70	32.000	59.360	1067.4
1.80	28.000	57.310	1070.4
1.90	24.000	55.460	1073.5
2.00	20.000	53.850	1076.5
2.10	16.000	52.500	1079.3
2.20	12.000	51.420	1081.9
2.30	8.0000	50.640	1084.0



t (s)	x (m)	R (m)	f' (Hz)
2.40	4.0000	50.160	1085.8
2.50	0.0000	50.000	1087.0
2.60	-4.0000	50.160	1087.5
2.70	-8.0000	50.640	1087.5
2.80	-12.000	51.420	1086.9
2.90	-16.000	52.500	1085.7
3.00	-20.000	53.850	1084.0
3.10	-24.000	55.460	1082.0
3.20	-28.000	57.310	1079.7
3.30	-32.000	59.360	1077.2
3.40	-36.000	61.610	1074.6
3.50	-40.000	64.030	1071.9
3.60	-44.000	66.600	1069.2
3.70	-48.000	69.310	1066.6
3.80	-52.000	72.140	1064.0
3.90	-56.000	75.070	1061.5
4.00	-60.000	78.100	1059.2
4.10	-64.000	81.220	1056.9
4.20	-68.000	84.400	1054.7
4.30	-72.000	87.660	1052.7
4.40	-76.000	90.970	1050.7
4.50	-80.000	94.340	1048.9
4.60	-84.000	97.750	1047.2
4.70	-88.000	101.21	1045.6
4.80	-92.000	104.71	1044.0
4.90	-96.000	108.24	1042.6
5.00	-100.00	111.80	1041.2
5.10	-104.00	115.40	1039.9
5.20	-108.00	119.01	1038.6
5.30	-112.00	122.65	1037.5



t (s)	x (m)	R (m)	f' (Hz)
5.40	-116.00	126.32	1036.4
5.50	-120.00	130.00	1035.3
5.60	-124.00	133.70	1034.3
5.70	-128.00	137.42	1033.4
5.80	-132.00	141.15	1032.5
5.90	-136.00	144.90	1031.6
6.00	-140.00	148.66	1030.8
6.10	-144.00	152.43	1030.0
6.20	-148.00	156.22	1029.3
6.30	-152.00	160.01	1028.6
6.40	-156.00	163.82	1027.9
6.50	-160.00	167.63	1027.3
6.60	-164.00	171.45	1026.7
6.70	-168.00	175.28	1026.1
6.80	-172.00	179.12	1025.5
6.90	-176.00	182.96	1024.9
7.00	-180.00	186.82	1024.4
7.10	-184.00	190.67	1023.9
7.20	-188.00	194.54	1023.4
7.30	-192.00	198.40	1023.0
7.40	-196.00	202.28	1022.5
7.50	-200.00	206.16	1022.1
7.60	-204.00	210.04	1021.7
7.70	-208.00	213.93	1021.3
7.80	-212.00	217.82	1020.9
7.90	-216.00	221.71	1020.5
8.00	-220.00	225.61	1020.2
8.10	-224.00	229.51	1019.8
8.20	-228.00	233.42	1019.5
8.30	-232.00	237.33	1019.2

t (s)	x (m)	R (m)	f' (Hz)
8.40	-236.00	241.24	1018.8
8.50	-240.00	245.15	1018.5
8.60	-244.00	249.07	1018.2
8.70	-248.00	252.99	1018.0
8.80	-252.00	256.91	1017.7
8.90	-256.00	260.84	1017.4



ตารางที่ 3 แสดงค่าตำแหน่งต่าง ๆ ของ Source ในแนวแกน x' , ระยะห่างของ Source และ Observer และค่าความถี่ที่ Observer ได้รับ กำหนดให้ความเร็วคงที่ 60 ms^{-1} ($v_s = 60 \text{ m/s}$) ที่ช่วงเวลา 0 ถึง 8.9 s ($t=0$ ถึง $t=8.9 \text{ s}$)

$t (\text{s})$	$x (\text{m})$	$R (\text{m})$	$f' (\text{Hz})$
0.00	100.00	111.80	1047.3
0.10	94.000	106.47	1050.0
0.20	88.000	101.21	1052.8
0.30	82.000	96.040	1056.0
0.40	76.000	90.970	1059.6
0.50	70.000	86.020	1063.5
0.60	64.000	81.220	1067.9
0.70	58.000	76.580	1072.8
0.80	52.000	72.140	1078.3
0.90	46.000	67.940	1084.3
1.00	40.000	64.030	1091.0
1.10	34.000	60.460	1098.2
1.20	28.000	57.310	1105.8
1.30	22.000	54.630	1113.6
1.40	16.000	52.500	1121.3
1.50	10.000	50.990	1128.2
1.60	4.0000	50.160	1133.7
1.70	-2.0000	50.040	1137.3
1.80	-8.0000	50.640	1138.7
1.90	-14.000	51.920	1137.7
2.00	-20.000	53.850	1134.7
2.10	-26.000	56.360	1130.1
2.20	-32.000	59.360	1124.5
2.30	-38.000	62.800	1118.2



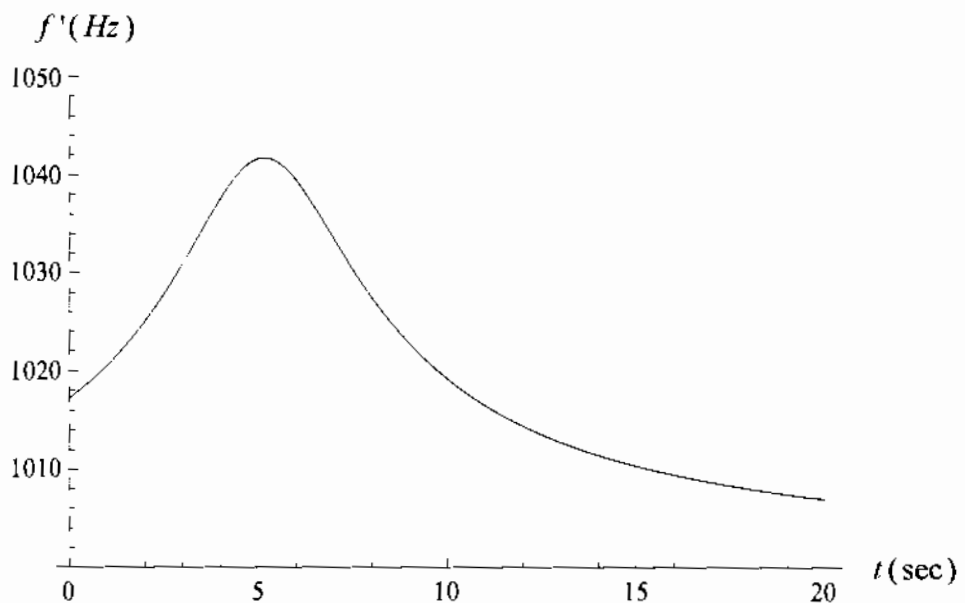
t (s)	x (m)	R (m)	f' (Hz)
2.40	-44.000	66.600	1111.8
2.50	-50.000	70.710	1105.5
2.60	-56.000	75.070	1099.4
2.70	-62.000	79.650	1093.7
2.80	-68.000	84.400	1088.4
2.90	-74.000	89.310	1083.4
3.00	-80.000	94.340	1078.9
3.10	-86.000	99.480	1074.7
3.20	-92.000	104.71	1070.9
3.30	-98.000	110.02	1067.4
3.40	-104.00	115.40	1064.1
3.50	-110.00	120.83	1061.2
3.60	-116.00	126.32	1058.4
3.70	-122.00	131.85	1055.9
3.80	-128.00	137.42	1053.6
3.90	-134.00	143.02	1051.4
4.00	-140.00	148.66	1049.4
4.10	-146.00	154.32	1047.5
4.20	-152.00	160.01	1045.8
4.30	-158.00	165.72	1044.2
4.40	-164.00	171.45	1042.7
4.50	-170.00	177.20	1041.2
4.60	-176.00	182.96	1039.9
4.70	-182.00	188.74	1038.6
4.80	-188.00	194.54	1037.5
4.90	-194.00	200.34	1036.3
5.00	-200.00	206.16	1035.3
5.10	-206.00	211.98	1034.3
5.20	-212.00	217.82	1033.4
5.30	-218.00	223.66	1032.5

t (s)	x (m)	R (m)	f' (Hz)
5.40	-224.00	229.51	1031.6
5.50	-230.00	235.37	1030.8
5.60	-236.00	241.24	1030.0
5.70	-242.00	247.11	1029.3
5.80	-248.00	252.99	1028.6
5.90	-254.00	258.87	1028.0
6.00	-260.00	264.76	1027.3
6.10	-266.00	270.66	1026.7
6.20	-272.00	276.56	1026.1
6.30	-278.00	282.46	1025.6
6.40	-284.00	288.37	1025.0
6.50	-290.00	294.28	1024.5
6.60	-296.00	300.19	1024.0
6.70	-302.00	306.11	1023.6
6.80	-308.00	312.03	1023.1
6.90	-314.00	317.96	1022.7
7.00	-320.00	323.88	1022.2
7.10	-326.00	329.81	1021.8
7.20	-332.00	335.74	1021.4
7.30	-338.00	341.68	1021.1
7.40	-344.00	347.62	1020.7
7.50	-350.00	353.55	1020.3
7.60	-356.00	359.49	1020.0
7.70	-362.00	365.44	1019.7
7.80	-368.00	371.38	1019.4
7.90	-374.00	377.33	1019.0
8.00	-380.00	383.28	1018.7
8.10	-386.00	389.23	1018.5
8.20	-392.00	395.18	1018.2
8.30	-398.00	401.13	1017.9

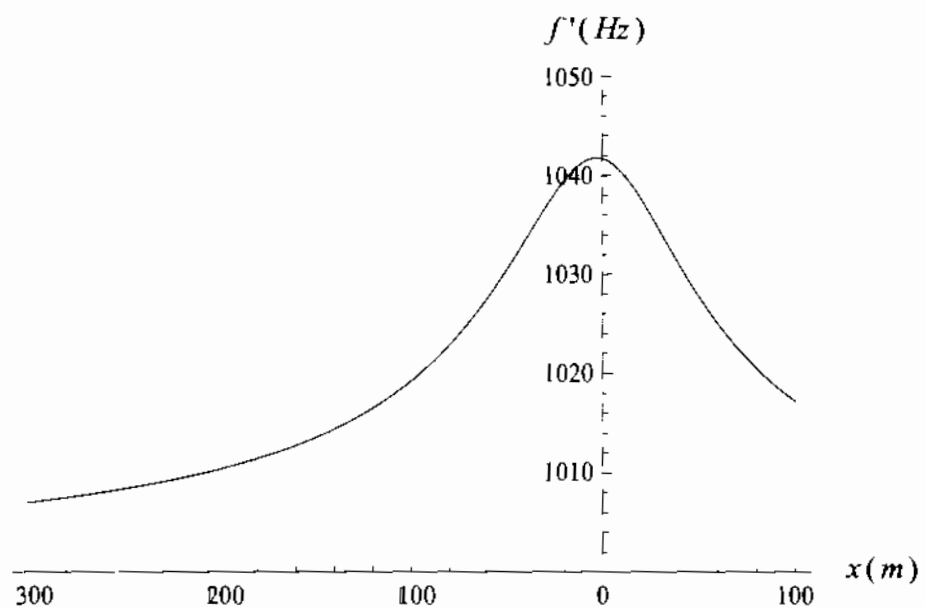
t (s)	x (m)	R (m)	f' (Hz)
8.40	-404.00	407.08	1017.6
8.50	-410.00	413.04	1017.4
8.60	-416.00	418.99	1017.1
8.70	-422.00	424.95	1016.9
8.80	-428.00	430.91	1016.6
8.90	-434.00	436.87	1016.4



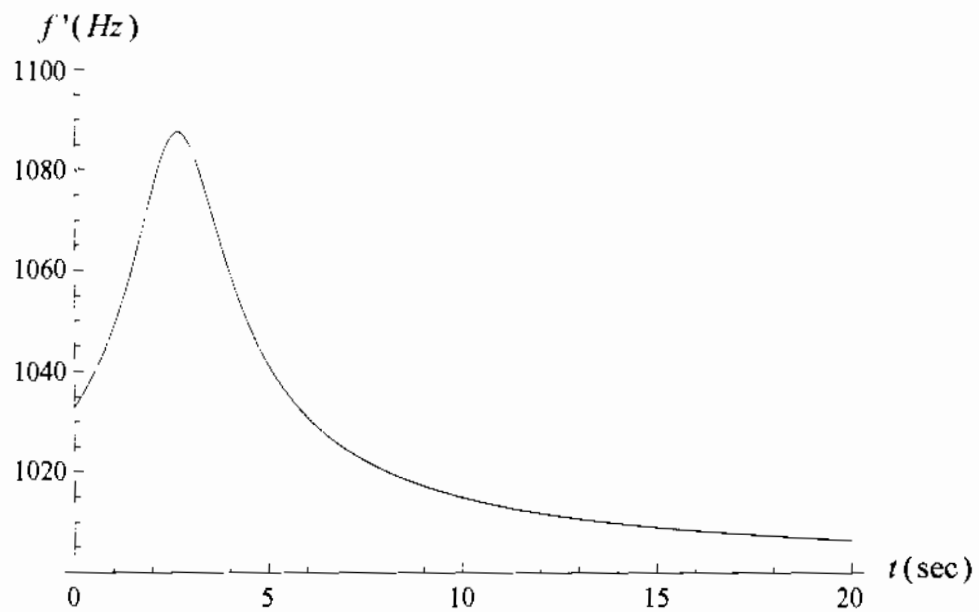
4.2 กราฟแสดงค่าความถี่ของ Observer ที่ได้รับ ณ ตำแหน่งต่างๆ จากตาราง
ที่ 1.1, 1.2 และ 1.3 ตามลำดับ



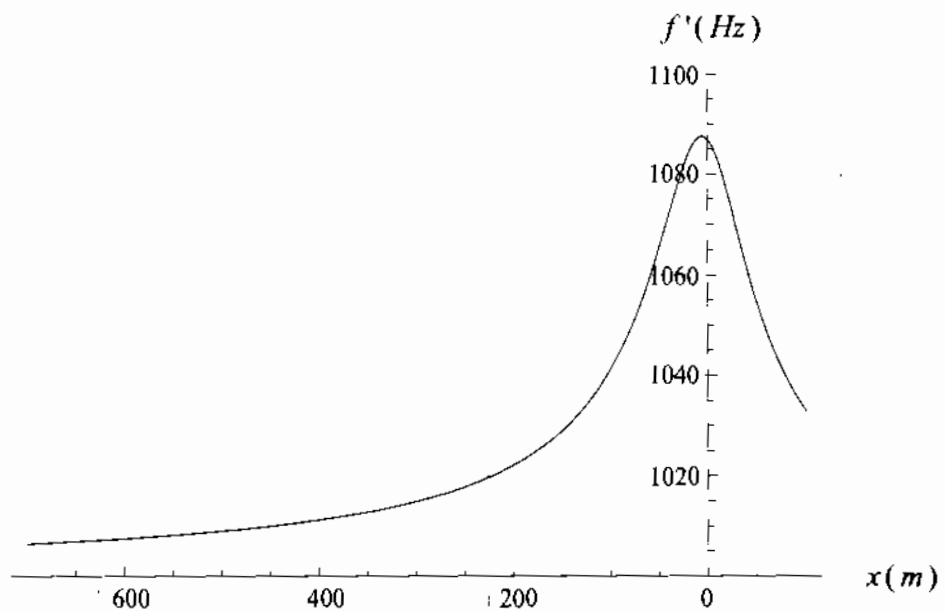
รูปที่ 8 แสดงความสัมพันธ์ระหว่าง f' กับ t เมื่อ $v_s = 20 \text{ ms}^{-1}$



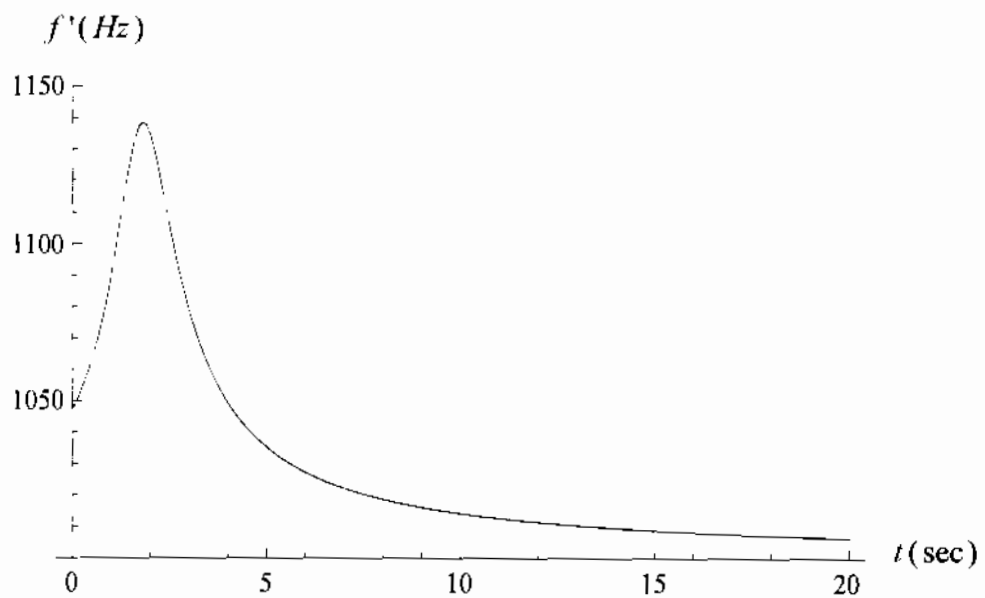
รูปที่ 9 แสดงความสัมพันธ์ระหว่าง f' กับ x เมื่อ $v_s = 20 \text{ ms}^{-1}$



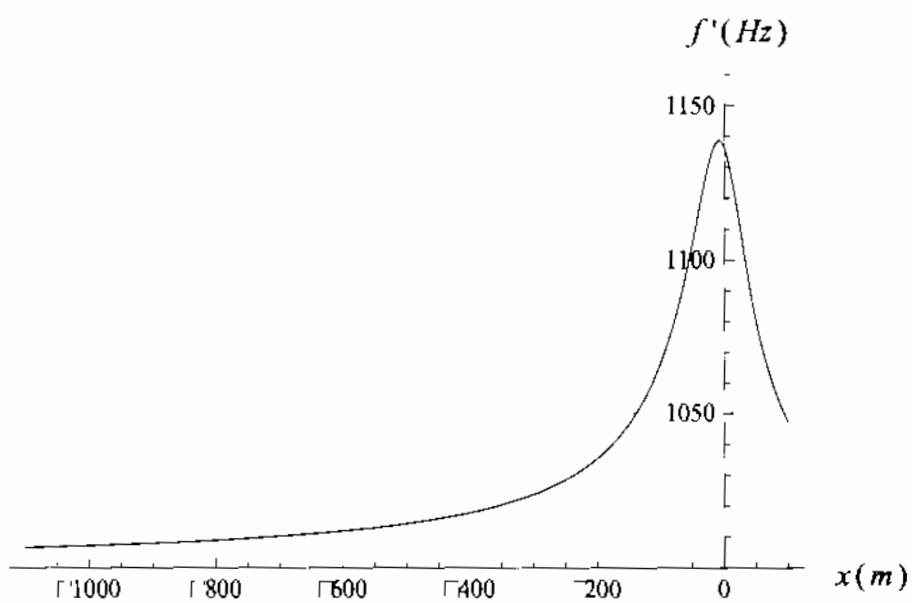
รูปที่ 10 แสดงความสัมพันธ์ระหว่าง f' กับ t เมื่อ $v_s = 40 \text{ ms}^{-1}$



รูปที่ 11 แสดงความสัมพันธ์ระหว่าง f' กับ x เมื่อ $v_s = 40 \text{ ms}^{-1}$



รูปที่ 12 แสดงความสัมพันธ์ระหว่าง f' กับ t เมื่อ $v_s = 60 \text{ ms}^{-1}$



รูปที่ 13 แสดงความสัมพันธ์ระหว่าง f' กับ x เมื่อ $v_s = 60 \text{ ms}^{-1}$



บทที่ 5

สรุปผลและข้อเสนอแนะ

5.1 สรุปผล

จากการศึกษาปรากฏการณ์คือปะเลอร์และการแปลงการคิดเลียนเพื่อหาความต้องเสียงที่ Observer ได้ยิน ณ เวลาที่เด็กต่างกัน สามารถสรุปผลการทดลองได้ดังนี้

1. เมื่อในของเวลาที่เปลี่ยนแปลงไปทำให้ Source เคลื่อนที่ด้วยความเร็วคงที่มีผลให้ระยะทางระหว่าง Source และ Observer มีระยะทางสั้นลง
2. ระยะทางที่สั้นลงส่งผลให้ความต้องเสียงเปลี่ยนแปลงไป
3. เมื่อ Source เคลื่อนที่เข้าหา Observer โดยมีระยะทางที่สั้นลงส่งผลให้ความต้องเสียงที่เปลี่ยนแปลงไปนั้นมีค่ามากขึ้นเรื่อยๆ และจะลดลงเมื่อ Source เคลื่อนที่ออกจาก Observer
4. ณ เวลาที่ความต้องเสียงที่เปลี่ยนแปลงไปนั้นมีค่ามากที่สุดจะสอดคล้องกับค่า R ที่ได้คำนวณ
5. ตามสมการความต้องเสียงที่ได้เป็นพื้นฐานของความเร็ว ค่าแทนงang ระยะทาง เมื่อค่าความเร็วของ Source เท่ากับศูนย์ ค่าความต้องเสียงที่ observer ได้รับจะต้องเท่ากับค่าความต้องเสียง ($f' = f$) ซึ่งสอดคล้องเหมือนกันกับความสัมพันธ์ของปรากฏการณ์คือปะเลอร์

5.2 ข้อเสนอแนะ

1. เพิ่มค่าความต้องเสียงเร็ว ระยะทาง ให้มีค่าหลากหลายมากขึ้นเพื่อส่งผลต่อความน่าเชื่อถือต่อโครงงานที่ดีขึ้น
2. ทำการศึกษาเพิ่มเติมของค่าความเร็วที่ทำให้เกิดคลื่นกระแทก
3. ศึกษาต่อในแบบจำลองของคลื่นแสงว่ามีผลกระทบต่อความต้องเสียงใดได้เป็นอย่างไร



บรรณานุกรม



บรรณานุกรม

- [1] Gabriel LaFreniere.(2002).The Doppler effect[On-line].
Available:http://glafreniere.com/sa_Doppler.htm
- [2] Hans, S.(2004).**Relativity An introduction to special and general relativity-**
(3rd ed.). United Kingdom. Cambridge University Press.
- [3] Ronald, G., and Willan, S.(1978). **Theory and problems Of Modren physics.** New York : McGraw- Hill
- [4] Stanley, W.,Kenneth, B., and Robert, G.(1974).**Fundamentals of physics @ physics.** United States of Ameriea.
- [5] Wikipedia, the free encyclopedia(2002) Christian Doppler[On-line].
Available: http://en.wikipedia.org/wiki/Christian_Doppler
- [6] ปรากฏการณ์คอปเพลอร์ (ม.บ.บ) Doppler effect[On-line].
Available: http://glafreniere.com/sa_Doppler.htm
- [7] รศ. ไพรัตน์ ตีรัตนากุล. ทฤษฎีอนุภาคของความตื้นและสัมพัทธภาพ(1999).



ต้นฉบับไม่ปรากฏข้อมูล



ประวัติย่อผู้วิจัย



ประวัติย่อผู้ศึกษา

ประวัติย่อผู้ศึกษา

ชื่อ นายอังคาร อินทนิล

วันเกิด วันที่ 7 เมษายน พ.ศ. 2530

สถานที่เกิด อ.เมือง จ.อุบลราชธานี

สถานที่อยู่ปัจจุบัน บ้านเลขที่ 645 หมู่ 2 ต.อุมพุก อ.คำเขื่อนแก้ว จ.บุรีรัมย์ 35110

อีเมลล์ : angkhan_intanin@hotmail.com

ประวัติย่อผู้ศึกษา

ชื่อ นายทฤยษี พรมดิเรก

วันเกิด วันที่ 11 สิงหาคม พ.ศ. 2531

สถานที่เกิด อ.กระนวน จ.ขอนแก่น

สถานที่อยู่ปัจจุบัน บ้านเลขที่ 105 หมู่ 8 ต.ท่าคันโภ อ.ท่าคันโภ จ.กาฬสินธุ์ 46190

อีเมลล์ : mpr_msu@hotmail.com

